

**ПАРАМЕТРИ ФРЕЗОВЕДУЧОЇ ЧАСТИНИ РУЙНІВНОГО ЕЛЕМЕНТА
САМООБЕРТОВОЇ ФРЕЗИ**

Актуальність проблеми. Існує глибинний розпушувач локальної дії (рис.1), який включає щілиноріз 1, з товщиною h' , ширину l_b , кутом загострення робочої грані 2ψ , глибиною обробітку B , робочий орган якого складається із дренера 2 діаметром d до якого кріпиться, з можливістю обертання, самообертова фреза 3, тіло обертання якої з діаметром D .

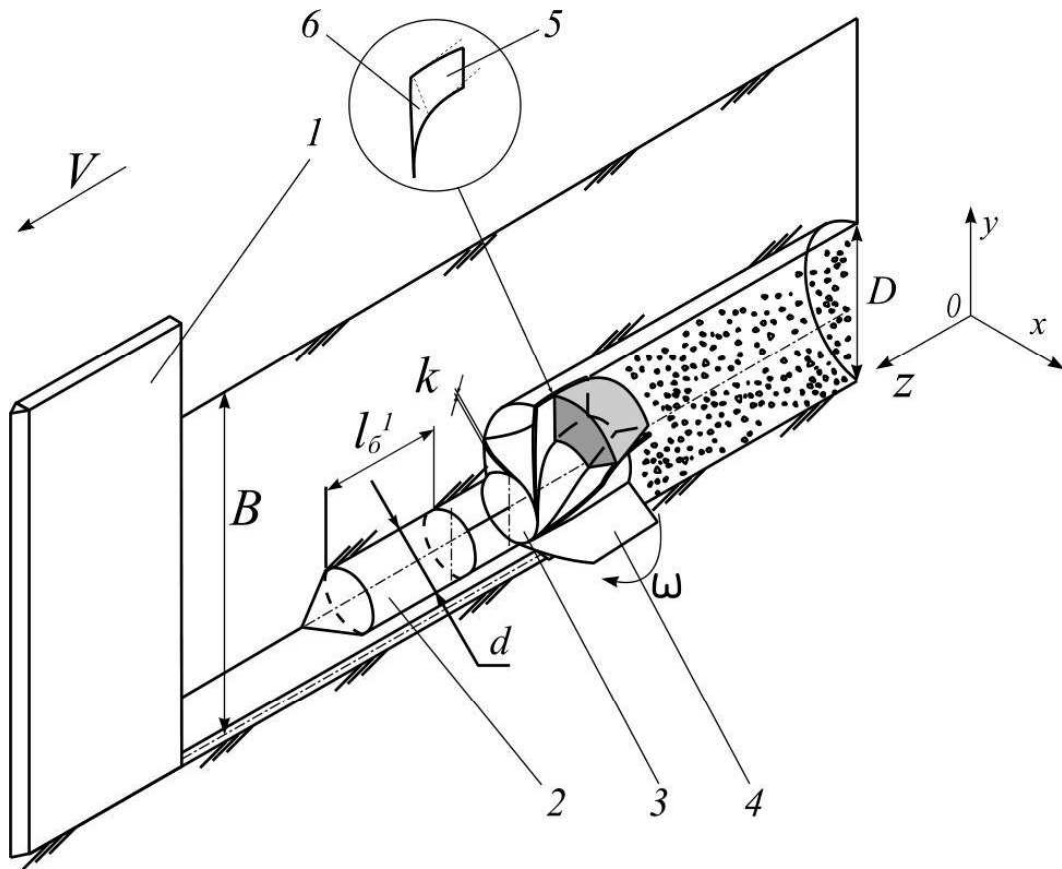


Рис.1. Глибинний розпушувач локальної дії.

Сама фреза складається із циліндричного тіла до якого жорстко кріпляться руйнівні елементи 4, товщина яких k , кількість z . Кожен руйнівний елемент виконаний з фрезоведучої 6 і ґрунторуйнівної 5 частин. При цьому ґрунторуйнівна частина відповідає за повне розпушення ґрунту в межах тіла обертання фрези без налипання

його на робочу поверхню, а фрезоведуча частина формує умови, що спричиняють обертання фрези. Проте на сьогоднішній день фрезоведуча частина руйнівного елементу самообертової фрези глибинного розпушувача вимагає більш ретельного дослідження.

Мета і постановка задачі. Провести аналіз геометричних параметрів фрезоведучої частини самообертової фрези глибинного розпушувача.

Основна частина. В якості передумов покладемо, що фрезоведуча частина руйнівного елементу самообертової фрези глибинного розпушувача локальної дії врізується в ґрунт не втискаючи його в напрямку переміщення розпушувача, тобто тиск по площині фрезоведучої частини руйнівного елементу на ґрунт не перевищує його структурної міцності.

Спочатку проаналізуємо відому [4] схему сил для визначення опору переміщення руйнівного елементу. Оскільки умовою виникнення явища самообертання є:

$$q = \frac{N''}{S} \leq [q_{cmp}], \quad (1)$$

де q – тиск на фрезоведучу поверхню [1, 3]; N'' – нормаль, що виникає внаслідок дії ґрунту на площину фрезоведучої поверхні руйнівного елементу; q_{cmp} – граничний тиск структурної міцності [3].

З аналізу відомої схеми сил, що діють на руйнівний елемент [4], схема для визначення сили тиску N'' на ґрунт з боку фрезоведучої частини набуває вигляду, що представлений на рисунку

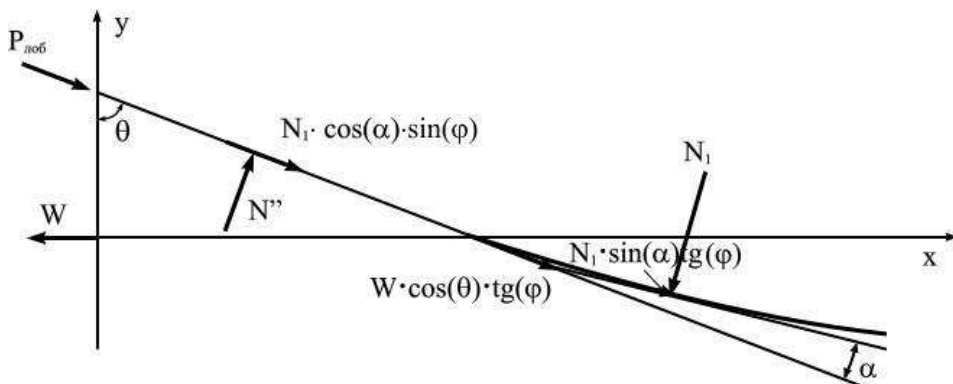


Рис. 2. Загальна схема сил, що діють на руйнівний елемент.

Опір переміщенню руйнівного елементу в ціліку ґрунту W залежить від: лобової сили врізання руйнівного елементу $P_{лоб}$; нормальній сили N_1 , що виникає внаслідок сколу ґрунту, що проходить вздовж ґрунторуйнівної поверхні руйнівного елементу та сили тертя.

Спроектувавши сили, що діють на фрезоведучу частину руйнівного елементу можна визначити N'' силу тиску на ґрунт з боку фрезоведучої частини

$$N'' = N_1 \times \cos \alpha_p \times \cos \varphi + W \times \cos \theta - N_1 \sin^2 \alpha_p \times \operatorname{tg} \varphi, \quad (2)$$

де α_p – кут між дотичною до розвертки гвинтової поверхні та віссю обертання фрези; θ – кут заходу руйнівного елементу; φ – кут ковзання ґрунту по сталі.

Підставивши досліджені раніше W , $P_{\text{лоб}}$ і N_1 , отримаємо:

$$N'' = \left[\frac{\frac{c \times \pi \times (D^2 - d^2)}{4} \times \frac{H}{L_{mo} \times \sin \theta} + c \times 1,205 \times H^{2,168} \times \sin \lambda}{\sin \beta - \cos \beta \times \operatorname{tg} \varphi - \sin \beta \times \cos \lambda \times \operatorname{tg} \varphi \times \sin \lambda} \times (1 - \sin^2 \alpha \times \operatorname{tg} \varphi) \right] \times \cos \alpha \times \cos \varphi +$$

$$+ q \times k \times (D - d) \times \left[1 + \frac{\cos \delta \times \operatorname{tg} \varphi}{\sin \alpha_p \times \sin \gamma_{zx}} \right] \times \sin \theta +$$

$$+ \frac{\frac{c \times \pi \times (D^2 - d^2)}{4} \times \frac{H}{L_{mo} \times \sin \theta} + c \times 1,205 \times H^{2,168} \times \sin \lambda}{\sin \beta - \cos \beta \times \operatorname{tg} \varphi - \sin \beta \times \cos \lambda \times \operatorname{tg} \varphi \times \sin \lambda} \times \sin \theta \times (2 \times \sin \varphi \times \cos \alpha + \cos \varphi \times \sin \alpha) +$$

$$1 - \cos \theta \cdot \sin \theta \cdot \operatorname{tg} \varphi \times \cos \theta \quad , \quad (3)$$

де H – повний крок решітки профілів по зовнішньому діаметру тіла обертання фрези; h - частина кроку решітки профілів по зовнішньому діаметру тіла обертання

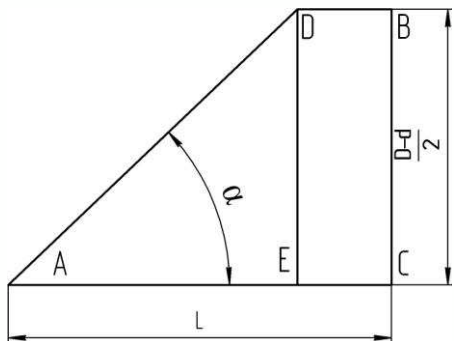


Рис. 3. Розгорта фрезоведучої поверхні руйнівного елемента

фрези; L_{mo} – периметр тіла обертання фрези; c – коефіцієнт зчеплення ґрунту, (МПа); β - кут між лінією дії активної сили N_1 і нормаллю до лобової поверхні сколу; λ - кут між лінією дії сили бокового сколу ґрунту та руйнівним елементом; φ_0 – кут внутрішнього тертя ґрунту [5]; γ_{zx} – кут захвату; δ – кут між напрямком руху ґрунтових частинок по грані руйнівного елемента і віссю oy .

Розглянемо будову фрезоведучої частини руйнівного елемента. Висота руйнівного елемента $ED = CB$ є половиною різниці діаметрів тіла обертання фрези D та дренера d . Довжина руйнівного елемента AC залежить від умов сколу ґрунту, але частіше всього вона складає половину всієї довжини дренера. Змінюючи кут захвату α ми можемо змінювати площину контакту руйнівного елемента з ґрунтом (рис. 3).

Площа визначається за наступною формулою [2]:

$$S = \frac{AE \times ED}{2} + (EC \times CB). \quad (4)$$

Врахувавши, що:

$$\operatorname{tga} = \frac{DE}{AE}, \quad AE = \frac{DE}{\operatorname{tga}}. \quad (5)$$

Кінцева формула визначення площі бокової поверхні фрезоведучої частини руйнівного елемента матиме вигляд:

$$S = L \times (D - d) - \frac{(D - d)^2}{2 \times \operatorname{tg} \alpha}, \quad (6)$$

де L – довжина фрезоведучої частини фрези.

Тоді довжина фрезоведучої поверхні фрези L визначається:

$$L = \frac{S + \frac{(D - d)^2}{2 \times \operatorname{tg} \alpha}}{D - d}, \quad (7)$$

де D – діаметр тіла обертання фрези; d – діаметр дренера; S – площа фрезоведучої поверхні; γ – кут загострення руйнівного елементу.

Якщо завважити, що обов'язковою умовою виникнення явища самообертання є

$$N'' \leq q_{cmp} \times S_{sp}. \quad (8)$$

Тоді довжина фрезоведучої частини руйнівного елемента визначиться за формулокою:

$$L = \left[\frac{\frac{c \times \pi \times (D^2 - d^2)}{4} \times \frac{H}{L_{mo} \times \sin \theta} + c \times 1,205 \times H^{2,168} \times \sin \lambda}{\sin \beta - \cos \beta \times \operatorname{tg} \varphi - \sin \beta \times \cos \lambda \times \operatorname{tg} \varphi \times \sin \lambda} \times \cos \alpha \times \cos \varphi + \right. \\ \left. + q_{cmp} \times k \times (D - d) \times \left[1 + \frac{\cos \delta \times \operatorname{tg} \varphi}{\sin \alpha_p \times \sin \gamma_{av}} \right] \times \sin \theta + \right. \\ \left. + \frac{\frac{c \times \pi \times (D^2 - d^2)}{4} \times \frac{H}{L_{mo} \times \sin \theta} + c \times 1,205 \times H^{2,168} \times \sin \lambda}{\sin \beta - \cos \beta \times \operatorname{tg} \varphi - \sin \beta \times \cos \lambda \times \operatorname{tg} \varphi \times \sin \lambda} \times \sin \theta \times (2 \times \sin \varphi \times \cos \alpha + \cos \varphi \times \sin \alpha) \right. \\ \left. + \frac{1 - \cos \theta \cdot \sin \theta \cdot \operatorname{tg} \varphi}{\sin \beta - \cos \beta \times \operatorname{tg} \varphi - \sin \beta \times \cos \lambda \times \operatorname{tg} \varphi \times \sin \lambda} \times \cos \theta \right] \times \frac{(D - d)^2}{2 \times \operatorname{tg} \alpha}, \quad (9)$$

де q_{cmp} – тиск, що діє на фрезоведучу площину руйнівного елемента, що відповідає

структурній міцності ґрунту. Згідно

дослідженням [5]

величина структурної

міцності ґрунту q_{cmp}

лежить в межах 0,02 - 0,10

kgs/cm^2 (0,002 – 0,010

МПа).

Висновки. 1. Площа врізання руйнівного елемента, яка забезпечує обертання фрези,

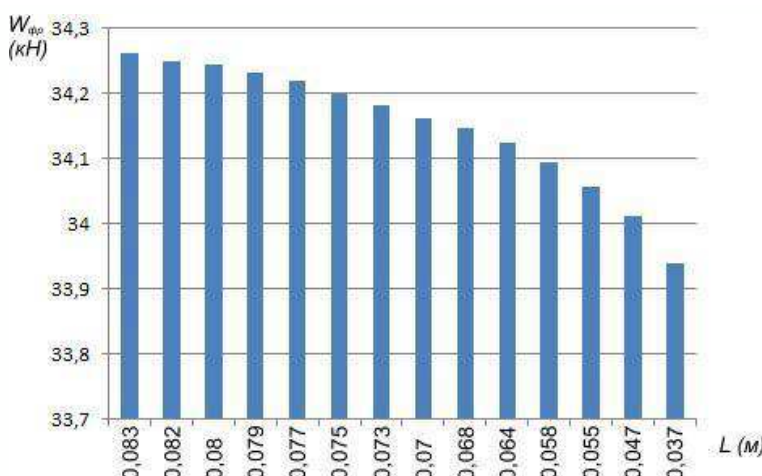


Рис. 4. Залежність опору переміщення руйнівного елемента самообертової фрези від площи фрезоведучої частини руйнівного елемента.

залежить від кута між робочою гранню і дотичною до циліндричної поверхні. Виведено залежності опору переміщення від характеристик напрямної поверхні руйнівного елемента самообертової фрези. 2. Розрахунки показали, що опір переміщення глибинного розпушувача зі зміною площині врізання зростає до 8% в межах реальних значень кута захвату α . Явище стиснення ґрунту не відбувається, оскільки кут заходу руйнівних елементів θ знаходиться в межах оптимальних значень, досліджених раніше.

ЛІТЕРАТУРА

1. Артемьев К.А. Теория резания грунтов землеройными машинами. / К.А. Артемьев. - Новосибирск: НИСИ, 1978. – 104 с.
2. Бронштейн И.Н., Справочник по математике / И.Н. Бронштейн, К.А. Семендяев - М.: Наука, 1964. – 608с.
3. Кравець С. В. Грунтозахисні та енергозберігаючі машини для прокладки підземних комунікацій. (Основи теорії, проектування та створення) / С.В. Кравець. - Навч. посіб. Рівне :Вид-во РДТУ,1999. – 278с.
4. Романовський О.Л. Раціональні параметри самооборотної фрези глибинного розпушувача / О.Л. Романовський, О.В. Макарчук // Вісник УДУВГП – Рівне: 2002. – Вип.4(17) - С. 325-331.
5. Цитович Н.А. Механика грунтов / Н.А. Цитович - М.: Вища школа, 1979. – 272 с.

УДК 621.865.8: 625.745.5

**Л.А. ХМАРА, докт. техн. наук, И.А. КУЛИК, канд. техн. наук,
Ю.С. ПИКУШ ас.**

ГВУЗ «Приднепровская государственная академия строительства и архитектуры»

ИССЛЕДОВАНИЕ ПРОИЗВОДИТЕЛЬНОСТИ МАНИПУЛЯТОРНОГО ОБОРУДОВАНИЯ ДЛЯ УКЛАДКИ БОРДЮРНЫХ КАМНЕЙ

Актуальность. В настоящее время укладка бордюрных камней (БК) является процессом с очень высокой долей ручного труда. Вследствие низкой производительности труда и низкой скорости монтажа БК вдоль дорожного полотна, исследование возможности применения манипуляторного оборудования для этих работ является актуальным [1, 2, 5, 6, 7, 8].

Цель. Теоретическое определение продолжительности рабочего цикла манипуляторного оборудования для укладки БК и его производительности.